

## Резонансное взаимодействие векторных бризеров

А. А. Расковалов<sup>+\*×</sup>, А. А. Гелаш<sup>+o1)</sup><sup>+</sup> Сколковский институт науки и технологий, 121205 Москва, Россия<sup>\*</sup> Институт физики металлов им. М. Н. Михеева Уральского отделения РАН, 620108 Екатеринбург, Россия<sup>×</sup> Физико-технологический институт, Уральский федеральный университет, 620002 Екатеринбург, Россия<sup>o</sup> Институт автоматизации и электрометрии Сибирского отделения РАН, 630090 Новосибирск, Россия

Поступила в редакцию 21 октября 2021 г.

После переработки 17 ноября 2021 г.

Принята к публикации 19 ноября 2021 г.

Теоретически исследованы векторные солитоны на неустойчивом постоянном фоне (векторные бризеры) в рамках фокусирующего двух-компонентного нелинейного уравнения Шредингера. На основе упрощенной версии метода обратной задачи рассеяния – схемы “одевания” – получены точные решения, описывающие резонансное взаимодействие векторных бризеров. Резонанс представляет трех-бризерный процесс, т.е. слияние двух бризеров в один, либо распад одного бризера на два. Процесс происходит таким образом, что для соответствующих бризерам волновых чисел и частот выполняются условия резонанса.

DOI: 10.31857/S1234567822010098

**Введение.** Одномерное нелинейное уравнение Шредингера (НУШ) представляет одну из наиболее универсальных и фундаментальных моделей нелинейной физики при описании распространения узкополосного волнового пакета в слабо нелинейной среде [1–3]. С. В. Манаков изучил двух-компонентный (векторный) аналог НУШ, который в настоящее время известен как система Манакова [4]. В данной работе мы исследуем систему Манакова с фокусирующей нелинейностью в присутствии постоянного модуляционно неустойчивого фона (конденсата). В безразмерных переменных система Манакова имеет вид:

$$\begin{aligned} i\psi_{1t} - \frac{1}{2}\psi_{1xx} - (|\psi_1|^2 + |\psi_2|^2 - A^2)\psi_1 &= 0, \\ i\psi_{2t} - \frac{1}{2}\psi_{2xx} - (|\psi_1|^2 + |\psi_2|^2 - A^2)\psi_2 &= 0. \end{aligned} \quad (1)$$

Здесь  $t$  – время,  $x$  – пространственная координата;  $\psi_{1,2}$  – компоненты комплексного волнового поля;  $A_{1,2} = \text{const}$  представляют вещественные амплитуды конденсата;  $A = \sqrt{A_1^2 + A_2^2}$ . Наличие конденсата в модели (1) приводит к граничным условиям:  $|\psi_{1,2}|^2 \rightarrow A_{1,2}^2$  при  $x \rightarrow \pm\infty$ .

Система (1) широко используется в нелинейной оптике как модель распространения света в двулучепреломляющем оптоволокне [3]. В этом случае компоненты  $\psi_1, \psi_2$  отвечают различным световым поля-

ризациям, взаимодействие которых продуцирует богатый набор нелинейных явлений [1].

Система Манакова, как и скалярное НУШ, относится к классу уравнений, интегрируемых методом обратной задачи рассеяния (МОЗР), что позволяет построить ее точные многосолитонные решения [5, 4]. Ключевую роль в построении МОЗР для системы Манакова играет вспомогательная линейная система  $3 \times 3$  для матричной волновой функции Йоста. Согласно теории МОЗР, каждый солитон волнового поля характеризуется определенным комплексным собственным числом  $\lambda$  вспомогательной системы. Величина  $\lambda$  задает форму и скорость движения солитона. Взаимодействие поляризованных солитонов впервые изучено С. В. Манаковым [4]. На настоящее время векторным солитонам посвящено большое число работ, см., например, [6, 3].

При наличии фона решения скалярного НУШ трансформируются в осциллирующие волновые структуры – бризеры. Фундаментальными составляющими семейства бризеров скалярного НУШ служат солитоны Кузнецова [7], Ахмедиева [8], Перегринна [9] и Таджири–Ватанабе [10]. Бризерные решения могут аналитически описывать формирование волн-убийц [11] и развитие модуляционной неустойчивости [8, 12]. Бризеры и их взаимодействие интенсивно исследуются в эксперименте, см. [13–15]. В [16] представлены векторные аналоги бризеров Кузнецова, Ахмедиева и Перегринна. В

<sup>1)</sup>e-mail: agelash@gmail.com

работе [17] в рамках МОЗР проведен детальный анализ начально-краевой задачи для системы (1) на основе задачи Римана и дана общая классификация типов векторных бризеров на основе аналитических свойств функций Йоста. Согласно этой классификации, векторные бризеры системы Манакова делятся на три типа: I, II и III, причем солитоны II и III не имеют аналогов в скалярном фокусирующем НУШ.

В интегрируемых моделях солитоны (бризеры) обычно взаимодействуют упруго, а число взаимодействующих солитонов не меняется со временем. Однако, как показано В. Е. Захаровым и С. В. Манаковым [18] (см. также работу Д. Дж. Каупа [19]), взаимодействие солитонов в интегрируемой системе трех волн может приводить к их слиянию, либо распаду. Позже нетривиальные взаимодействия солитонов были обнаружены в двумерной теории поля [20]. Подобный нелинейный волновой процесс запрещен для скалярного НУШ и системы Манакова с нулевыми граничными условиями. Тем не менее, при добавлении в систему Манакова постоянного фона слияние либо распад различных когерентных структур оказывается возможным [21, 22].

В данной работе мы представляем точное решение системы (1), описывающее резонансное взаимодействие бризеров типов I, II и III. Под резонансным взаимодействием мы понимаем трех-бризерный процесс, т. е. слияние двух бризеров в третий или распад одного бризера на два. Участвующие во взаимодействии бризеры имеют каждый свой тип: I, II или III. Мы установили, что волновые вектора  $k_I$ ,  $k_{II}$ ,  $k_{III}$  и частоты  $\omega_I$ ,  $\omega_{II}$ ,  $\omega_{III}$  удовлетворяют типичному условию резонанса.

**Метод “одевания” для векторных бризеров.** Для построения бризерных решений системы Манакова мы используем процедуру “одевания”. Данный метод, известный также как схема одевания Дарбу, в различных вариантах служит популярным средством построения точных решений интегрируемых нелинейных моделей, см. [5, 23–25]. Мы используем векторный аналог метода одевания, развитого ранее для скалярного НУШ в работе [26].

В этом разделе мы кратко опишем метод “одевания”, позволяющий построить точные бризерные решения системы Манакова (1) при наличии постоянного фона. Рассмотрим вспомогательную линейную систему для  $3 \times 3$  матричной волновой функции  $\Phi$ , зависящей от  $x$ ,  $t$  и от комплексного спектрального параметра  $\lambda$ :

$$\Phi_x = \mathbf{U}\Phi, \quad (2)$$

$$\Phi_t = \mathbf{V}\Phi = -(\lambda\mathbf{U} + i\mathbf{W}/2)\Phi. \quad (3)$$

Здесь  $\mathbf{U}$  и  $\mathbf{W}$  представляют собой следующие  $3 \times 3$  матрицы:

$$\mathbf{U} = \begin{pmatrix} -i\lambda & \psi_1 & \psi_2 \\ -\psi_1^* & i\lambda & 0 \\ -\psi_2^* & 0 & i\lambda \end{pmatrix}, \quad (4)$$

$$\mathbf{W} = \begin{pmatrix} |\psi_1|^2 + |\psi_2|^2 - A^2 & \psi_{1x} & \psi_{2x} \\ \psi_{1x}^* & -|\psi_1|^2 + A^2 & -\psi_1^*\psi_2 \\ \psi_{2x}^* & -\psi_1\psi_2^* & -|\psi_2|^2 + A^2 \end{pmatrix}.$$

Система Манакова (1) служит условием совместности уравнений (2) и (3):

$$\Phi_{xt} = \Phi_{tx}.$$

Из уравнений (2), (3) также следуют дополнительные соотношения для функций  $\Phi^{-1}$  и  $\Phi^\dagger$ :

$$\Phi_x^{-1} = -\Phi^{-1}\mathbf{U}, \quad \Phi_t^{-1} = -\Phi^{-1}\mathbf{V}, \quad (5)$$

$$\Phi_x^\dagger = \Phi^\dagger\mathbf{U}^\dagger, \quad \Phi_t^\dagger = \Phi^\dagger\mathbf{V}^\dagger. \quad (6)$$

Здесь знак  $\dagger$  означает эрмитово сопряжение. Сравнивая (5) и (2), из условий симметрии  $\mathbf{U}^\dagger(\lambda^*) = -\mathbf{U}(\lambda)$ ,  $\mathbf{V}^\dagger(\lambda^*) = -\mathbf{V}(\lambda)$ , находим, что функция  $\Phi$  удовлетворяет редукции:

$$\Phi^\dagger(\lambda^*) = \Phi^{-1}(\lambda). \quad (7)$$

На первом этапе процедуры “одевания” мы находим решение  $\Phi_c$  системы (2), (3) на фоне конденсата  $\psi_{1,2} = A_{1,2}$ :

$$\Phi_c(x, t, \lambda) = \begin{pmatrix} 0, & e^\varphi, & -ire^{-\varphi} \\ -\frac{A_2}{A}e^{-\varphi_0}, & -\frac{A_1}{A}ire^\varphi, & \frac{A_1}{A}e^{-\varphi} \\ \frac{A_1}{A}e^{-\varphi_0}, & -\frac{A_2}{A}ire^\varphi, & \frac{A_2}{A}e^{-\varphi} \end{pmatrix}, \quad (8)$$

где

$$\varphi_0 = -i\lambda x + \frac{i}{2}(\lambda^2 + \zeta^2)t, \quad \varphi = -i\zeta x + i\lambda\zeta t,$$

и

$$r = A/(\lambda + \zeta), \quad \zeta = \sqrt{\lambda^2 + A^2}.$$

Решение  $\Phi_c(x, t, \lambda)$  удовлетворяет вспомогательной системе:

$$\Phi_{cx} = \mathbf{U}_c\Phi, \quad \Phi_{ct} = \mathbf{V}_c\Phi, \quad (9)$$

где  $\mathbf{V}_c = -(\lambda\mathbf{U}_c + i\mathbf{W}_c)$ , и

$$\mathbf{U}_c = \begin{pmatrix} -i\lambda & A_1 & A_2 \\ -A_1 & i\lambda & 0 \\ -A_2 & 0 & i\lambda \end{pmatrix},$$

$$\mathbf{W}_c = \frac{1}{2} \begin{pmatrix} 0 & 0 & 0 \\ 0 & A_2^2 & -A_1 A_2 \\ 0 & -A_1 A_2 & A_1^2 \end{pmatrix}.$$

Затем мы вводим “одевающую” функцию

$$\chi = \Phi \Phi_0^{-1}, \quad (10)$$

удовлетворяющую асимптотическим условиям:

$$\chi(\lambda) \rightarrow \mathbf{E} + \frac{\tilde{\chi}}{\lambda} + O(\lambda^{-2}) \quad \text{при } |\lambda| \rightarrow \infty, \quad (11)$$

где  $\tilde{\chi}$  – постоянная матрица (независящая от  $\lambda$ ),  $\mathbf{E}$  – единичная матрица. Из (7) находим, что функция  $\chi(x, t, \lambda)$  удовлетворяет редукции:

$$\chi^\dagger(\lambda^*) = \chi^{-1}(\lambda). \quad (12)$$

Из (2), (3), (5), (2) получаем уравнения:

$$\begin{aligned} \chi_x^{-1} &= -\chi^{-1} \mathbf{U} + \mathbf{U}_c \chi^{-1}, \\ \chi_t^{-1} &= -\chi^{-1} \mathbf{V} + \mathbf{V}_c \chi^{-1}. \end{aligned} \quad (13)$$

Затем, выбирая  $\chi$  так, чтобы матрицы  $U$  и  $V$  были мероморфны в  $\lambda$ -плоскости, получаем новое решение уравнений (2), (3). Подставляя разложение (11) в уравнение (13), получаем окончательную формулу для вычисления компонент  $\psi_{1,2}$ :

$$\psi_1 = A_1 + 2i\tilde{\chi}_{12}, \quad \psi_2 = A_2 + 2i\tilde{\chi}_{13}. \quad (14)$$

Предположим, что функция  $\chi$  имеет единственный полюс  $\lambda = \lambda_1$ :

$$\chi = \mathbf{E} + \frac{\mathbf{N}}{\lambda - \lambda_1}, \quad (15)$$

где  $\mathbf{N}$  – постоянная матрица. Тогда из (12) получаем, что:

$$\chi^{-1} = \mathbf{E} + \frac{\mathbf{N}^\dagger}{\lambda - \lambda_1^*}. \quad (16)$$

Из условия  $\chi\chi^{-1} = \mathbf{E}$  находим:

$$\chi(\lambda_1) \mathbf{N}^\dagger(\lambda_1) = 0. \quad (17)$$

Отсюда следует, что матрицы  $\mathbf{N}$ ,  $\mathbf{N}^\dagger$  вырождены и их можно выразить через трех-компонентные векторы  $\mathbf{p}$  и  $\mathbf{q}$ :

$$\mathbf{N}_{\alpha\beta} = p_\alpha q_\beta, \quad \mathbf{N}^\dagger = q_\alpha^* p_\beta^*, \quad \alpha, \beta = 1, 2, 3.$$

Для устранения в выражении (13) лишнего полюса в точке  $\lambda = \lambda_1^*$  мы должны наложить на вектор  $\mathbf{q}(x, t)$  условие,

$$\partial_x \mathbf{q}^* - \mathbf{U}_c(x, t, \lambda_1^*) \mathbf{q}^* = 0.$$

Отсюда мы находим вектор  $\mathbf{q}$  в виде

$$\mathbf{q}(x, t) = \Phi_c^*(x, t, \lambda_1^*) \mathbf{C}, \quad (18)$$

где  $\mathbf{C}$  – произвольный трех-компонентный комплексный вектор. Окончательно из (17) получаем вектор  $\mathbf{p}$  в виде:

$$\mathbf{p} = \frac{\mathbf{q}^*}{|\mathbf{q}|^2} (\lambda_1 - \lambda_1^*).$$

Таким образом, однополюсная функция  $\chi(x, t, \lambda)$  (15) полностью определена. Используя формулу (14), получаем компоненты  $\psi_{1,2}$  соответствующего (15) однополюсного решения системы Манакова (1) на фоне конденсата:

$$\psi_1 = A_1 + \frac{2i(\lambda - \lambda^*) q_1^* q_2}{|\mathbf{q}|^2}, \quad (19)$$

$$\psi_2 = A_2 + \frac{2i(\lambda - \lambda^*) q_1^* q_3}{|\mathbf{q}|^2}.$$

Данное решение параметризуется комплексным собственным числом  $\lambda$  и содержит произвольный комплексный трех-компонентный вектор  $\mathbf{C} = (C_0, C_1, C_2)^T$  (здесь символ  $T$  означает транспонирование). Здесь и далее мы полагаем  $\lambda_1 \equiv \lambda$ . Мы используем обозначения

$$\zeta = \sqrt{\lambda^2 + A^2}, \quad r = A/(\lambda + \zeta). \quad (20)$$

Компоненты вектора  $\mathbf{q} = (q_1, q_2, q_3)^T$ , см. уравнение (18), можно записать в следующем виде:

$$q_1 = e^{-\varphi} C_1 + i r e^\varphi C_2, \quad (21)$$

$$q_2 = \frac{1}{A} [-A_2 e^{\varphi_0} C_0 + A_1 (i r e^{-\varphi} C_1 + e^\varphi C_2)],$$

$$q_3 = \frac{1}{A} [A_1 e^{\varphi_0} C_0 + A_2 (i r e^{-\varphi} C_1 + e^\varphi C_2)],$$

где функции  $\varphi_0$  и  $\varphi$  определяются так:

$$\varphi_0 = -i\lambda x + \frac{i}{2} (\lambda^2 + \zeta^2) t = u_0 - i v_0, \quad (22)$$

$$\varphi = -i\zeta x + i\lambda\zeta t = u - i v,$$

с помощью функций  $u$ ,  $v$ ,  $u_0$ ,  $v_0$ :

$$u_0 = \text{Im}[\lambda]x - \frac{1}{2} \text{Im}[\lambda^2 + \zeta^2]t, \quad (23)$$

$$v_0 = \text{Re}[\lambda]x - \frac{1}{2} \text{Re}[\lambda^2 + \zeta^2]t,$$

$$u = \text{Im}[\zeta]x - \text{Im}[\lambda\zeta]t,$$

$$v = \text{Re}[\zeta]x - \text{Re}[\lambda\zeta]t.$$

Здесь и далее,  $\text{Re}$  и  $\text{Im}$  означают вещественную и мнимую части комплексного числа.

Отметим, что преобразования

$$\mathbf{q}_n \rightarrow c\mathbf{q}_n, \tag{24}$$

где  $c$  – произвольная комплексная константа, не меняют решения (19). Это значит, что при произвольном выборе вектора  $\mathbf{C}$  решение содержит четыре вещественных свободных параметра. Отметим также, что система Манакова имеет нетривиальные решения, только когда вектор  $\mathbf{C}$  содержит по крайней мере две ненулевые компоненты. Далее мы обсудим физический смысл параметров решения (19) и различные возможности выбора вектора  $\mathbf{C}$ .

**Бризеры типов I, II и III.** В этом разделе мы исследуем простейшие пространственно локализованные бризеры системы Манакова. В работе [17] предложена классификация, согласно которой они названы бризерами типов I, II и III. Мы покажем, что все они описываются формулой (19) в случаях, когда одна из компонент вектора  $\mathbf{C}$  обращается в нуль. Мы также используем следующую параметризацию для спектрального параметра  $\lambda$  и связанных с ним функций (детали см. в [26]):

$$\begin{aligned} \lambda &= A \sinh(\xi + i\alpha), \\ \zeta &= A \cosh(\xi + i\alpha), \\ r &= e^{-\xi - i\alpha}. \end{aligned}$$

Мы начнем со случая  $C_0 = 0$ . Ему соответствует бризер типа I – простое векторное обобщение решения скалярного НУШ, в котором две компоненты системы Манакова не взаимодействуют и удовлетворяют соотношению

$$\psi_2 = (A_2/A_1)\psi_1. \tag{25}$$

Другими словами, каждая компонента волнового поля представляет хорошо известный бризер скалярного НУШ, см., например, [27]. Соотношение (24) показывает, что вектор  $\mathbf{C}$  теперь содержит лишь один независимый комплексный параметр. Это позволяет записать его компоненты в виде:

$$C_0 = 0, \quad C_1 = C_2^{-1} = e^{\text{Im}[\zeta]\delta + i\theta/2}, \tag{26}$$

где  $\delta$  и  $\theta$  – вещественные параметры, определяющие положение центра бризера и его фазу. Исходя из общего решения (19), вещественную и мнимую части волнового поля для бризера типа I можно записать как:

$$\begin{aligned} \text{Re } \psi_{1,2}^I &= A_{1,2} - \frac{2A_{1,2} \sin \alpha \cosh \xi [\cos(2v_1) \cosh \xi + \cosh(2u_1) \sin \alpha]}{\cosh \xi \cosh(2u_1) + \sin \alpha \cos(2v_1)}, \\ \text{Im } \psi_{1,2}^I &= \frac{2A_{1,2} \sin \alpha \cosh \xi [\sinh(2u_1) \cos \alpha + \sin(2v_1) \sinh \xi]}{\cosh \xi \cosh(2u_1) + \sin \alpha \cos(2v_1)}, \end{aligned} \tag{27}$$

где

$$u_1 = \frac{l_1^{-1}(x - V_1 t - \delta)}{2}, \quad v_1 = \frac{k_1 x - \omega_1 t + \theta}{2}, \tag{28}$$

содержат характерную ширину бризера  $l_1$ , его групповую скорость  $V_1$ , характерный волновой вектор  $k_1$  и характерную частоту  $\omega_1$ :

$$\begin{aligned} l_1 &= (2\text{Im}[\zeta])^{-1} = (2A \sin \alpha \sinh \xi)^{-1}, \\ V_1 &= \frac{\text{Im}[\lambda\zeta]}{\text{Im}[\zeta]} = \frac{A \cos \alpha \cosh 2\xi}{\sinh \xi}, \\ k_1 &= 2\text{Re}[\zeta] = 2A \cos \alpha \cosh \xi, \\ \omega_1 &= 2\text{Re}[\lambda\zeta] = A^2 \cos 2\alpha \sinh 2\xi. \end{aligned} \tag{29}$$

Бризер типа I имеет асимптотики

$$\psi_{1,2}^I \rightarrow A_{1,2} e^{\pm 2i\alpha}; \quad x \rightarrow \pm\infty, \tag{30}$$

так что полный сдвиг фазы постоянного фона составляет  $4\alpha$ . Рисунок 1 демонстрирует пример бризера типа I, движущегося с ненулевой скоростью. В этой

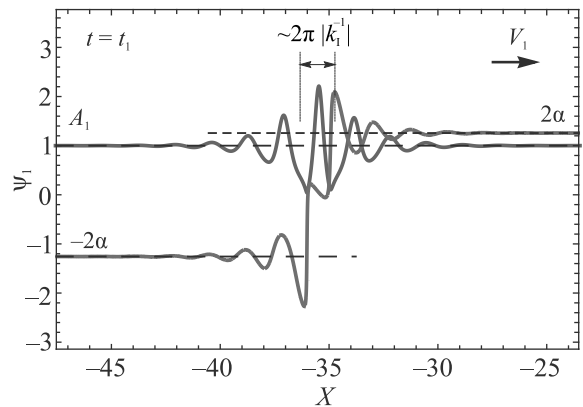


Рис. 1. (Цветной онлайн)  $|\psi_1|$  (сплошная синяя линия) и  $\text{Arg}[\psi_1]$  (штрихованная зеленая линия) для векторного бризера типа I, где  $\text{Arg}$  обозначает комплексную фазу. Параметры решения определены в (31). Горизонтальные черные штриховые линии отмечают асимптотики (30). Стрелка в верхнем углу рисунка показывает направление движения бризера. Компонента  $\psi_2$  не показана, так как отличается от  $\psi_1$  только масштабным преобразованием (25)

работе для иллюстраций мы всегда выбираем значения (выбор обусловлен наглядностью рисунков):

$$\begin{aligned} A_1 &= 1, & A_2 &= 2; \\ \alpha &= \pi/5, & \xi &= 1/4, & \theta &= 0, & \delta &= 0; \\ t_1 &= -4.4, & t_2 &= 4.5. \end{aligned} \quad (31)$$

При  $C_1 = 0$  мы получим другое нетривиальное решение системы Манакова, которое мы называем бризером типа II, опять же согласно классификации [17]. Записав компоненты  $\mathbf{C}$  в виде

$$C_0 = e^{-\text{Im}[\lambda]\delta + i\theta/2}, \quad C_1 = 0, \quad C_2 = e^{-\text{Im}[\zeta]\delta - i\theta/2}, \quad (32)$$

из (19) получим:

$$\begin{aligned} \psi_1^{\text{II}} &= A_1 + \frac{4i e^{i\alpha} \sin \alpha \cosh \xi (A_1 - A_2 e^{u_{\text{II}} - i v_{\text{II}}})}{e^{2u_{\text{II}} + \xi} + 2 \cosh \xi}, \\ \psi_2^{\text{II}} &= A_2 + \frac{4i e^{i\alpha} \sin \alpha \cosh \xi (A_2 + A_1 e^{u_{\text{II}} - i v_{\text{II}}})}{e^{2u_{\text{II}} + \xi} + 2 \cosh \xi}, \end{aligned} \quad (33)$$

где

$$u_{\text{II}} = \frac{l_{\text{II}}^{-1}(x - V_{\text{II}}t - \delta)}{2}, \quad v_{\text{II}} = k_{\text{II}}x - \omega_{\text{II}}t - \theta. \quad (34)$$

Физические характеристики бризера типа II:

$$l_{\text{II}} = (2(\text{Im}[\lambda] - \text{Im}[\zeta]))^{-1} = (2Ae^{-\xi} \sin \alpha)^{-1}, \quad (35)$$

$$V_{\text{II}} = \frac{\text{Im}[\lambda^2 + \zeta^2]/2 - \text{Im}[\lambda\zeta]}{\text{Im}[\lambda] - \text{Im}[\zeta]} = -A \cos \alpha e^{-\xi},$$

$$k_{\text{II}} = \text{Re}[\lambda] - \text{Re}[\zeta] = -A \cos \alpha e^{-\xi},$$

$$\omega_{\text{II}} = \frac{1}{2} \text{Re}[\lambda^2 + \zeta^2] - \text{Re}[\lambda\zeta] = \frac{A^2}{2} e^{-2\xi} \cos 2\alpha.$$

Бризер типа II имеет асимптотики:

$$\begin{aligned} \psi_{1,2}^{\text{II}} &\rightarrow A_{1,2} e^{2i\alpha}; & x &\rightarrow -\infty, \\ \psi_{1,2}^{\text{II}} &\rightarrow A_{1,2}; & x &\rightarrow +\infty. \end{aligned} \quad (36)$$

Рисунок 2 демонстрирует пример бризера типа II, движущегося с ненулевой скоростью.

При  $C_2 = 0$  получаем бризер типа III. Записывая  $\mathbf{C}$  в виде:

$$\begin{aligned} C_0 &= e^{-\text{Im}[\lambda]\delta - i\theta/2}, \\ irC_1 &= e^{\text{Im}[\zeta]\delta + i\theta/2}, \quad C_2 = 0, \end{aligned} \quad (37)$$

из (19) находим:

$$\psi_1^{\text{III}} = A_1 - 4i \sin \alpha e^{-i\alpha} \cosh \xi \frac{A_1 + A_2 e^{u_{\text{III}} - i v_{\text{III}}}}{e^{2u_{\text{III}} + \xi} + 2 \cosh \xi}, \quad (38)$$

$$\psi_2^{\text{III}} = A_2 - 4i \sin \alpha e^{-i\alpha} \cosh \xi \frac{A_2 - A_1 e^{u_{\text{III}} - i v_{\text{III}}}}{e^{2u_{\text{III}} + \xi} + 2 \cosh \xi}, \quad (39)$$

где

$$u_{\text{III}} = \frac{l_{\text{III}}^{-1}(x - V_{\text{III}}t - \delta)}{2}, \quad v_{\text{III}} = k_{\text{III}}x - \omega_{\text{III}}t + \theta. \quad (40)$$

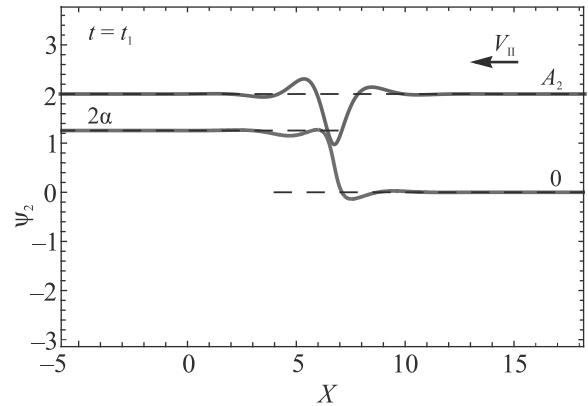
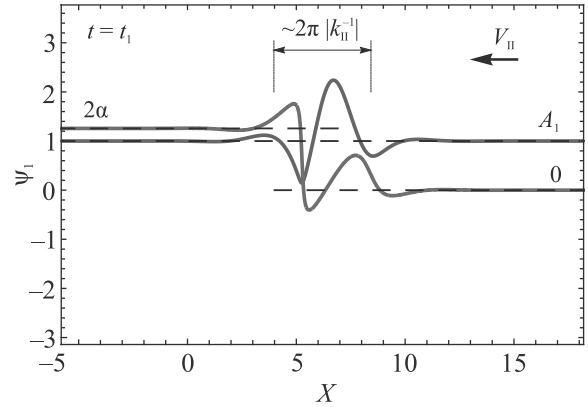


Рис. 2. (Цветной онлайн)  $|\psi_{1,2}|$  (сплошная синяя линия) и  $\text{Arg}[\psi_{1,2}]$  (штрихованная зеленая линия) для векторного бризера типа II. Параметры решения определены в (31). Горизонтальными черными штриховыми линиями показаны асимптотики (36). Стрелка в верхнем углу рисунков указывает направление движения бризера

Физические характеристики бризера III:

$$l_{\text{III}} = (2(\text{Im}[\lambda] + \text{Im}[\zeta]))^{-1} = (2Ae^{\xi} \sin \alpha)^{-1}, \quad (41)$$

$$V_{\text{III}} = \frac{\text{Im}[\lambda^2 + \zeta^2]/2 + \text{Im}[\lambda\zeta]}{\text{Im}[\lambda] + \text{Im}[\zeta]} = Ae^{\xi} \cos \alpha,$$

$$k_{\text{III}} = \text{Re}[\lambda] + \text{Re}[\zeta] = Ae^{\xi} \cos \alpha,$$

$$\omega_{\text{III}} = \frac{1}{2} \text{Re}[\lambda^2 + \zeta^2] + \text{Re}[\lambda\zeta] = \frac{A^2}{2} e^{2\xi} \cos 2\alpha.$$

Бризер III имеет асимптотики:

$$\begin{aligned} \psi_{1,2}^{\text{III}} &\rightarrow A_{1,2} e^{-2i\alpha}; & x &\rightarrow -\infty, \\ \psi_{1,2}^{\text{III}} &\rightarrow A_{1,2}; & x &\rightarrow +\infty. \end{aligned} \quad (42)$$

Рисунок 3 демонстрирует пример бризера типа III, движущегося с ненулевой скоростью. Частные случаи бризеров I, II и III с параметрами  $\alpha = \pi/2$ ,  $\xi > 0$  и  $\alpha < \pi/2$ ,  $\xi = 0$  требуют отдельного рассмотрения, которое в данной работе мы не приводим.

**Резонансное взаимодействие векторных бризеров.** Рассмотрим общее решение (19) в слу-

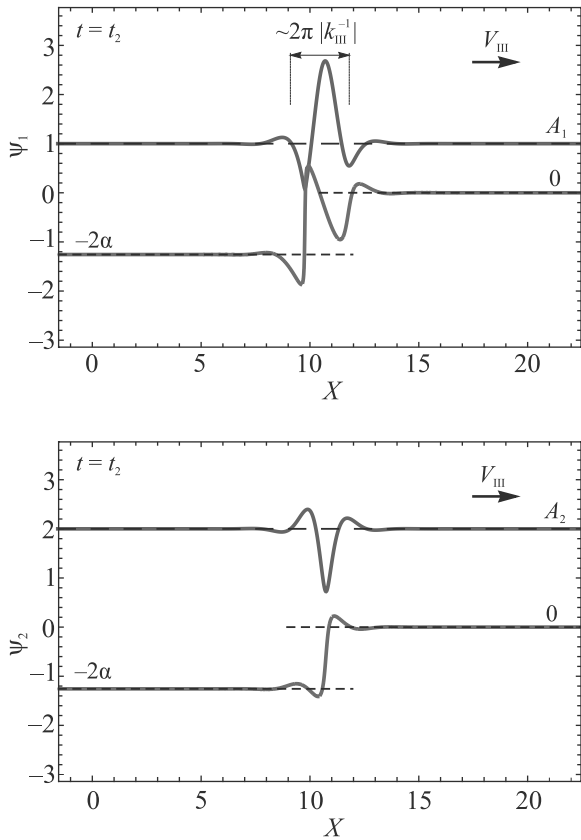


Рис. 3. (Цветной онлайн) Аналог рис. 2 для бризера типа III

чае, когда все константы  $C_0, C_1, C_2$  отличны от нуля. Решение имеет асимптотики:

$$\begin{aligned} \psi_{1,2} &\rightarrow A_{1,2}e^{-2i\alpha}; & x &\rightarrow -\infty, \\ \psi_{1,2} &\rightarrow A_{1,2}; & x &\rightarrow +\infty. \end{aligned} \quad (43)$$

Для определенности, положим  $\alpha \in (0, \pi/2)$ . Тогда решение (19) описывает слияние бризеров I и II в бризер III, см. рис. 4 и 5. Для подтверждения этого поочередно перейдем в системы отсчета:

$$u = \text{const}, \quad (44)$$

$$u_0 - u = \text{const}, \quad (45)$$

при  $t \rightarrow -\infty$  и

$$u_0 + u = \text{const} \quad (46)$$

при  $t \rightarrow \infty$ . Напомним, что  $u$  и  $u_0$  определены в (23).

Условия (44), (45) и (46) означают, что в выражениях (21)  $e^{\varphi_0} \rightarrow 0, e^{-\varphi} \rightarrow 0$  и  $e^\varphi \rightarrow 0$  соответственно. Тогда в каждой из указанных систем отсчета мы получим в точности бризерные решения (27), (33) и (39). Данное утверждение иллюстрируют приведенные ранее рис. 1–4, которые построены в оди-

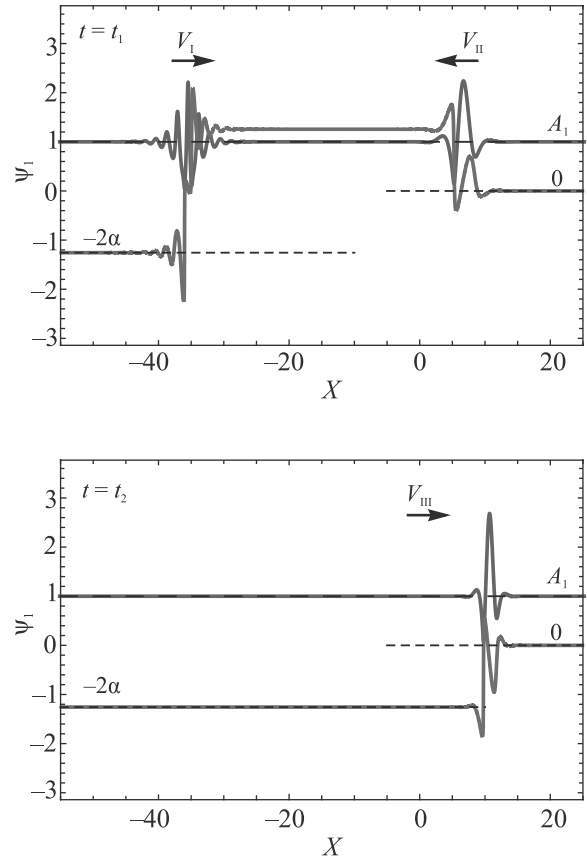


Рис. 4. (Цветной онлайн) Резонансное слияние векторных бризеров I + II  $\rightarrow$  III в моменты времени  $t = t_1$  (верхний рисунок) и  $t = t_2$  (нижний рисунок). Сплошная синяя линия демонстрирует  $|\psi_1|$ , а штрихованная зеленая линия – это  $\text{Arg}[\psi_1]$ . Параметры решения определены в (31). Горизонтальными черными штриховыми линиями показаны асимптотики (43)

наковые моменты времени  $t_1$  и  $t_2$ , что позволяет сопоставить асимптотические состояния резонансных бризеров (рис. 4) и одиночные бризеры (рис. 1, 2 и 3). Из явных выражений (29), (35) и (41) для волновых векторов и частот бризеров мы находим, что бризеры сливаются резонансным образом – так, что:

$$k_I + k_{II} = k_{III}, \quad (47)$$

$$\omega_I + \omega_{II} = \omega_{III}. \quad (48)$$

**Обсуждение и заключение.** В данной работе мы показали, что векторные бризеры модели Манакова типов I, II и III могут участвовать в слиянии либо распаде так, что их волновые векторы и частоты удовлетворяют условиям резонанса. Мы полагаем, что аналогичный результат можно получить, исходя из двухполосного решения системы Манакова. В таком случае, за каждый бризер типа I и II/III отвечает свое собственное число. При этом слияние

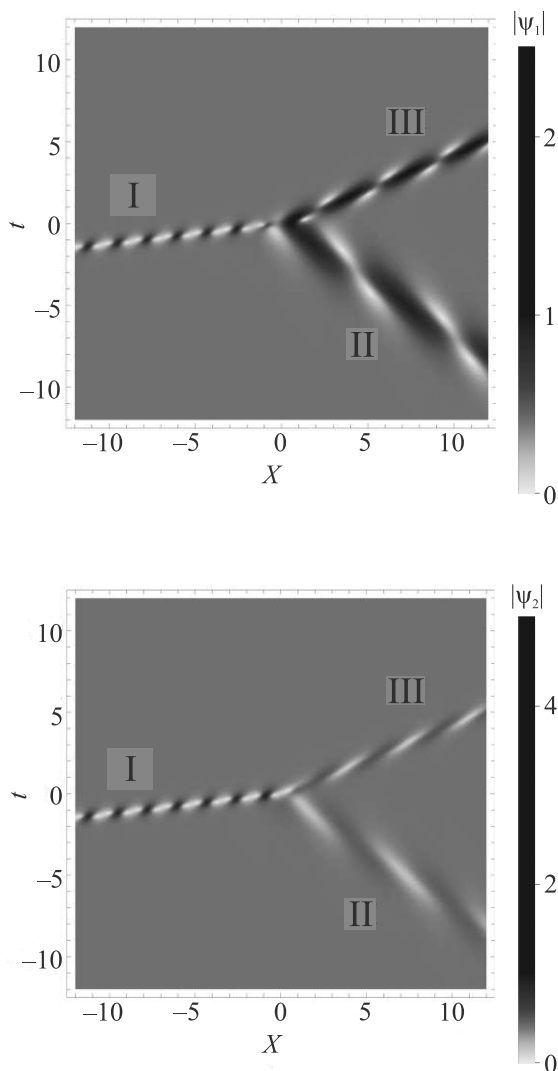


Рис. 5. Пространственно-временные портреты  $|\psi_1|$  (верхний рисунок) и  $|\psi_2|$  (нижний рисунок) для резонансного слияния векторных бризеров  $I + II \rightarrow III$

этих собственных чисел приводит к резонансному взаимодействию бризеров, аналогично случаю трехкомпонентных солитонов [18]. Подобное резонансное взаимодействие солитонов/бризеров обычно наблюдается в трех- (и более) компонентных системах без дисперсии, таких как модель трех волн [18, 19]. В нашем случае резонансное взаимодействие оказалось возможным в двухкомпонентной системе с дисперсией благодаря наличию конденсата.

Мы полагаем, что полученный результат вносит ощутимый вклад в исследование векторных бризеров, особенно значимый ввиду недавнего прогресса в теоретическом и экспериментальном исследовании многокомпонентных моделей в гидродинамике и оптике [28–30].

Мы благодарны Е. А. Кузнецову за плодотворное обсуждение результатов работы.

Работа выполнена при поддержке Российского научного фонда (грант # 19-72-30028).

1. Y. S. Kivshar and G. Agrawal, *Optical solitons: from fibers to photonic crystals*, Academic Press, N.Y. (2003).
2. A. Osborne, *Nonlinear ocean waves*, Academic Press, N.Y. (2010).
3. A. Maimistov and A. Basharov, *Nonlinear optical waves*, Kluwer Academic Publishers, Dordrecht, Boston, London (1999).
4. S. V. Manakov, *Sov. Phys. JETP* **38**(2), 248 (1974).
5. S. Novikov, S. Manakov, L. Pitaevskii, and V. Zakharov, *Theory of solitons: the inverse scattering method*, Springer Science & Business Media, N.Y. (1984).
6. M. J. Ablowitz, B. Prinari, and A. D. Trubatch, *Inverse Problems* **20**, 1217 (2004).
7. E. A. Kuznetsov, *Sov. Phys. Dokl.* **22**, 507 (1977).
8. N. N. Akhmediev, V. M. Eleonskii, and N. E. Kulagin, *Sov. Phys. JETP* **62**(5), 894 (1985).
9. D. H. Peregrine, *J. Austral. Math. Soc. Ser. B. Appl. Math.* **25**(1), 16 (1983).
10. M. Tajiri and Y. Watanabe, *Phys. Rev. E* **57**(3), 3510 (1998).
11. N. Akhmediev, J. M. Soto-Crespo, and A. Ankiewicz, *Phys. Rev. A* **80**(4), 043818 (2009).
12. V. E. Zakharov and A. A. Gelash, *Phys. Rev. Lett.* **111**(5), 054101 (2013).
13. B. Kibler, J. Fatome, C. Finot, G. Millot, G. Genty, B. Wetzels, N. Akhmediev, F. Dias, and J. M. Dudley, *Sci. Rep.* **2**, 463 (2012).
14. A. Chabchoub, N. Hoffmann, M. Onorato, and N. Akhmediev, *Phys. Rev. X* **2**(1), 011015 (2012).
15. B. Kibler, A. Chabchoub, A. Gelash, N. Akhmediev, and V. E. Zakharov, *Phys. Rev. X* **5**(4), 041026 (2015).
16. N. V. Priya, M. Senthilvelan, and M. Lakshmanan, *Phys. Rev. E* **88**(2), 022918 (2013).
17. D. Kraus, G. Biondini, and G. Kovačič, *Nonlinearity* **28**(9), 3101 (2015).
18. V. Zakharov and S. Manakov, *Sov. Phys. JETP* **42**, 842 (1976).
19. D. J. Kaup, *Stud. Appl. Math.* **55**(1), 9 (1976).
20. V. E. Zakharov and A. V. Mikhailov, *JETP Lett.* **27**(1), 42 (1978).
21. F. Baronio, A. Degasperis, M. Conforti, and S. Wabnitz, *Phys. Rev. Lett.* **109**(4), 044102 (2012).
22. L.-C. Zhao and J. Liu, *JOSA B* **29**(11), 3119 (2012).
23. V. E. Zakharov and A. V. Mikhailov, *Sov. Phys. JETP* **47**(6), 1017 (1978).
24. V. B. Matveev and M. A. Salle, *Darboux transformations and solitons*, Springer-Verlag, Berlin (1991).
25. N. N. Akhmediev and N. V. Mitzkevich, *IEEE J. Quantum Electron.* **27**(3), 849 (1991).

26. A. Gelash and V.E. Zakharov, *Nonlinearity* **27**(4), R1 (2014).
27. C. Kharif, E. Pelinovsky, and A. Slunyaev, *Rogue Waves in the Ocean, Observation, Theories and Modeling*, Springer, Heidelberg (2009).
28. A. Chabchoub, K. Mozumi, N. Hoffmann, A.V. Babanin, A. Toffoli, J.N. Steer, T.S. van den Bremer, N. Akhmediev, M. Onorato, and T. Waseda, *PNAS* **116**(20), 9759 (2019).
29. A.I. Dyachenko, *Stud. in Appl. Math.* **144**(4), 493 (2020).
30. B. Frisquet, B. Kibler, J. Fatome, P. Morin, F. Baronio, M. Conforti, G. Millot, and S. Wabnitz, *Phys. Rev. A* **92**(5), 053854 (2015).